[22] CT-FEM ASM (非对称歯形歯車応力解析)

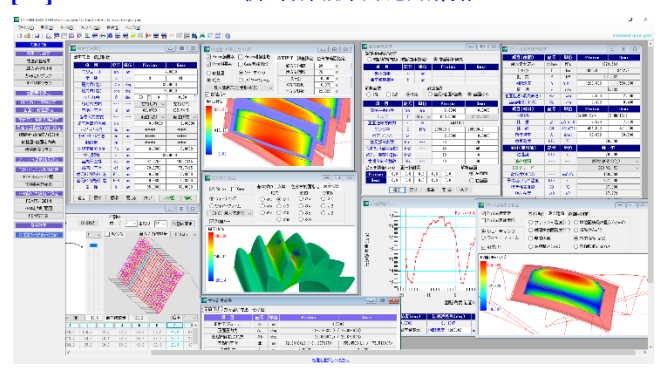


図 22.1 CT-FEM ASM

22.1 概要

非対称歯形歯車は、ギヤの大きさや材料を変更しないで歯面負荷容量を増大させることができます。高圧力角歯形は標準圧力角に比べ、ヘルツ応力は低下し、摩擦係数およびすべり率は小さく、そしてフラッシュ温度を低く抑えることができます。詳しくは**[付録 H]**をご覧ください。

CT-FEM ASM は、非対称歯形歯車(高強度歯車)の FEM 応力解析ソフトウェアです。 CT-FEM Opera iii と同様フラッシュ温度、摩擦係数、油膜厚さ、スカッフィングや摩耗の発生確率そして寿命時間の計算ができ、また、歯面端部接触解析や最適歯面修整機能も付加しています。 図 22.1 に全体画面を示します.

22.2 ソフトウェアの構成

CT-FEM ASM の構成を表 22.1 に示します。表中の \bigcirc は、基本 ソフトウェアに含まれ、 \bigcirc はオプションです。

適応歯車:インボリュート平,はすば歯車(外歯車,内歯車)

表 22.1 ソフトウェアの構成

項目	機能
〈1〉基準ラックの設定(非対称歯形)	0
〈2〉歯車寸法	0
<3>歯車かみ合い図	0
〈4〉歯面修整	0
<5>3D 応力分布	0
<6>歯面評価 ⁽¹⁾	
摩擦係数,油膜厚さ,発熱量,	0
損失動力,PV 值,PVT 值	
<7>スカッフィング発生確率 ⁽¹⁾	0
〈8〉摩耗発生確率(1)	0
<9>寿命時間 ⁽¹⁾	0
<10>効率(1)	0
<11>3D-FEM 歯形応力解析	0
<12>端部当たり解析	0
<13>回転伝達誤差解析,フーリエ解析,CSV	0
<14>內歯車	0
〈15〉最適歯面修整の生成機能	0

(1)樹脂歯車には対応していません.

22.3 基準ラックの設定

図 22.2 に設定画面を示します.

・歯車の組み合わせ : 外歯車×外歯車, 外歯車×内歯車

・基準ラック : 並歯, 低歯, 特殊

・歯先円決定の方式 :標準方式,等クリアランス方式



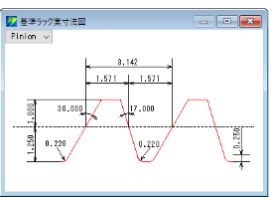


図 22.2 基準ラック

22.4 歯車寸法

歯車寸法は、各部寸法、かみ合い率、すべり率、歯厚などを計算します。アンダーカットが発生している歯車のかみ合い率は、TIF(True Involute Form)径を基準にかみ合い率を決定します。また、歯先に C 面や丸みがある場合は C または R を考慮したかみ合い率を算出します。

- (1)中心距離と転位係数の関係は、以下の3種類です.
 - <1>転位係数をピニオンとギヤに与え中心距離を決定
 - <2>中心距離を基準として各歯車の転位係数を決定
 - <3>転位係数を無視して任意に中心距離を決定
- (2)転位係数の設定方式は、以下の3種類です.
 - <1>転位係数を直接入力
 - <2>オーバーピン寸法を入力して転位係数を決定
 - <3>転位量を入力して転位係数を決定

転位係数の入力は、転位係数を直接入力方法以外に、歯厚を基準にして転位係数を逆算することもできます。なお、非対称歯形歯車の「またぎ歯厚」測定はできませんので転位係数の設定方式には含みません。図 22.3~22.3b に諸元設定画面を示します。また、補助機能の図 22.3b では、圧力角を変更(スライドバー操作)したときの歯形を表示します。





(a) 歯車諸元

(b) 面取り

図 22.3 諸元設定

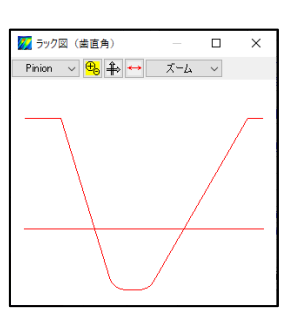


図 22.3a 基準ラック

図 22.3b 補助機能

図 22.4~22.6 に寸法結果を示します. また, 図 22.7 に非対称歯 形歯車のオーバーボール測定位置図を示します.



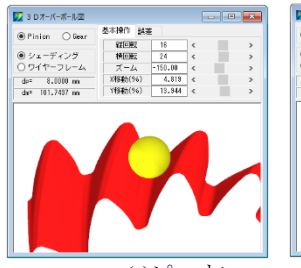
図 22.4 寸法結果 1

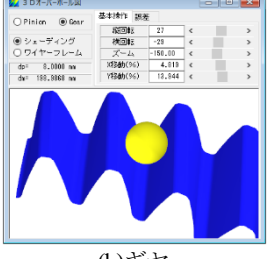
☑ 寸法計算結果	_				
歯車寸法 かみ合い寸法	その他				
項目	記号	単位	Pinion	Gear	
正面かみ合い圧力角	αwt	deg	34.4857(L) /	/ 21.4664(R)	
かみ合いねじれ角	βw	deg	28.3	1643	
かみ合いビッチ円直径	dw	nm	87.4000	188.6000	
歯数比	zh		2.1579	0.4634	
有効歯幅	bw	nm	30.0000		
クリアランス	ck	nm	1.2916	1.2916	
正面かみ合い率	εα		0.9292(L) /	/ 1.1485(R)	
重なりかみ合い率	εβ		1.1208(L) / 1.1208(R)		
全かみ合い率	εγ		2.0500(L) /	/ 2.2693(R)	
すべり率	σ1		-0.2474(L) / -0.7278(R)	0.1983(L) / 0.4212(R)	
すべり率	σ2		0.3401(L) / 0.5676(R)	-0.5154(L) / -1.3129(R)	
正面法線バックラッシ	Jŧ	nm	0.3010(L) /	/ 0.3398(R)	
バックラッシ角度	Jθ	deg	0.4788	0.2219	
最大接触直径	dja	nn	96.6753(L) / 96.6753(R)	192.7415(L) / 192.7415(R)	
最小接触直径	djf	nm	83.5572(L) / 84.0954(R)	180.5396(L) / 182.1619(R)	

図 22.5 寸法結果 2

7 寸法計算結果			[- D
歯車寸法 かみ合い寸法	その他			
項目	記号	単位	Pinion	Gear
最大面圧(膜要素応力)	σh	MPa	1836	.32
要素数			55754	45402
節点数			93433	76279
最大曲げ応力(σ1)	σ1	MPa	490.59	556.56
最大曲げ要素番号			36125	29417

図 22.6 計算結果3





(a)ピニオン

(b)ギヤ

図 22.7 非対称歯形歯車のオーバーボール測定位置

22.5 かみ合い図

図22.8 に正面かみ合い図(左歯面接触)を示します.補助フォ ームで基準円直径や作用線を作図することができ、スクロールバ ーで歯車を回転させることができます. また, 歯形を拡大するこ ともできます.

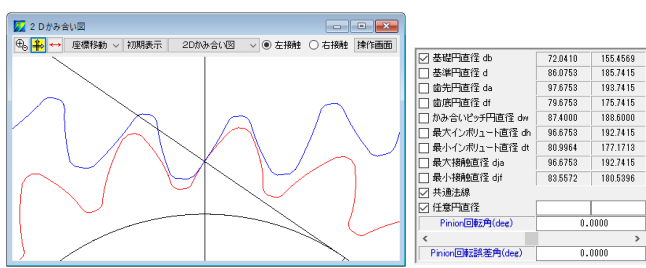


図22.8 正面かみ合い図

22.6 かみ合いグラフおよびすべり率グラフ

図 22.9 にかみ合いグラフを示します。このグラフでは横軸にピ ニオンの作用線長さを、縦軸にギヤの作用線長さを示しています のでかみ合いの関係が良く解ります. 図 22.9(a)の場合, ピニオン の接触直径が 85.918mm のときギヤの接触直径は 190.122mm です. また, そのときのピニオンの作用線長さは 23.410mm で, ギヤは 54.726mm です. さらに、図 22.8 の正面かみ合い図と連動させる ことができますので歯のかみ合いも把握することができます.

図 22.10 の回転角度計算(図 22.9 中の[逆算]ボタン)は、接触直 径,作用線長さ、ロールアングルそして回転角度の関係を計算す るための補助計算機能です. 図 22.11 にすべり率グラフを示しま す.

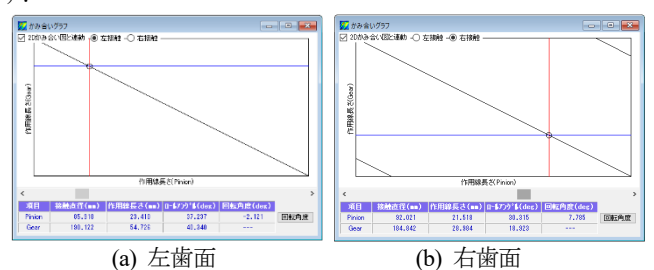


図 22.9 かみ合いグラフ

項目	記号	単位	Pinion	Gear
接触直径	ď	mm	85.9183	190.1225
作用線長さ	L	mm	23.4097	54.7260
ロールアングル	φ	deg	37.2364	40.3400
回転角度	θ	deg	-2.1208	****

図 22.10 回転角度計算(左歯面)

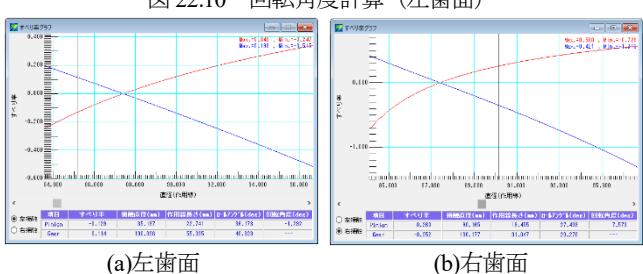


図 22.11 すべり率グラフ

22.7 歯面要素 (入力2)

図 22.12 に歯面要素設定画面を示します. ここではトルクとヤ ング率,ポアソン比そして歯形の分割数を設定します.ヤング率,



図 22.12 歯面要素設定(左歯面)

ポアソン比をプラスチック材料とすることによりプラスチック歯 車も解析することができます.解析歯形は1歯,3歯,5歯を選択 することができますので,例題歯車のように全かみ合い率が大き い場合には5歯を選択します.また、ピッチ誤差を与えることが できますが,例題歯車ではピッチ誤差を0として解析します.

22.8 歯形歯すじ入力

定型の歯形修整および歯すじ修整は各々3 種類 (Typel~3) あります. 本例で与えるピニオンの歯形修整を図 22.13 に、歯すじ修整を図 22.14 に示しますが、本例のギヤは無修整とします.

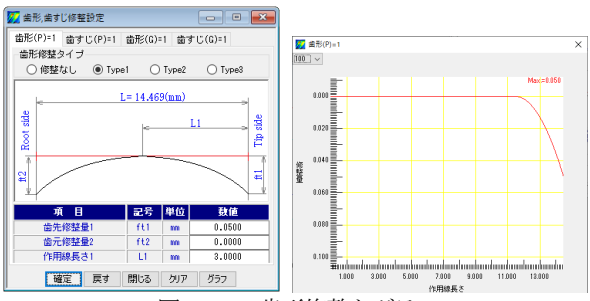


図 22.13 歯形修整とグラフ

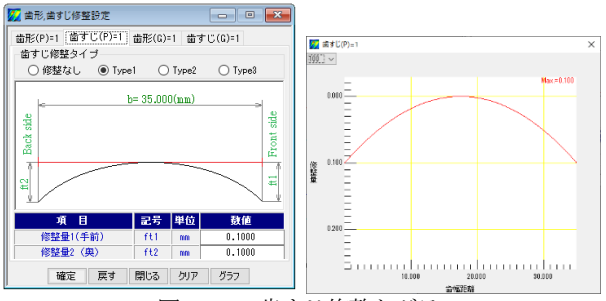


図 22.14 歯すじ修整とグラフ

22.9 3D 任意歯面修整

3D 歯面修整は図 22.15 のように直接入力することもできますし、図 22.13 および図 22.14 で設定した修整を引き継ぐこともできます。図 22.15 は、図 22.13 と図 22.14 で設定した修整を 3D 表示したものです (ギヤは無修整のため省略). また、この歯形を CSVファイルで出力することも、歯車検査結果データ (CSV ファイル)を読み込むこともできます。

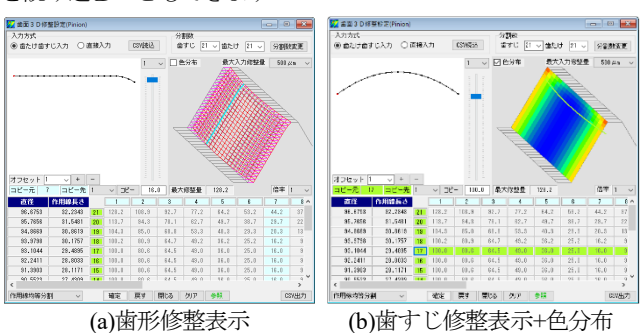
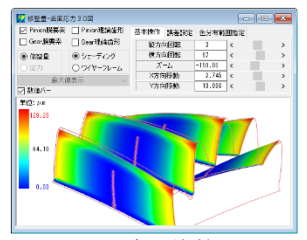


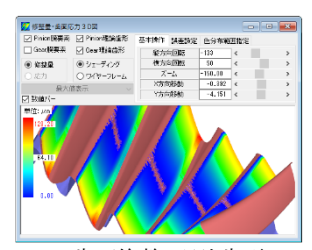
図 22.15 歯面修整 (ピニオン)

22.10 歯面要素 3D 図

図 22.15 で設定した歯形を 3D 図で確認することができます. 補助フォームでは歯車を回転, ズームさせることができ, 中心距離誤差や組み立て誤差角度を設定し, 歯当たりを確認することができます. 図 22.16(a)は歯面修整を持つ歯形を表示したもので, (b)は, それに理論歯形(ピニオン赤色とギヤ青色)を重ねた合わせた図です. また, 図 22.17 に歯面要素メッシュモデルを示します.







(b) 歯面修整+理論歯形

図 22.16 歯面要素



図 22.17 歯面要素メッシュモデル

22.11 歯面解析

歯車諸元やトルクそして歯面修整を与えたときの歯面応力を解析します.解析角度は1ピッチ角度と最大接触角度の2種類あります.ここでは例題として図22.18のように最大接触角を60分割し,食い違い角誤差と平行度誤差共に0°として計算します.この軸角誤差は,負荷により軸受や歯車箱が歪んだときの誤差角であり,この原因により歯当たりが変化し応力分布に変化を生じさせます.



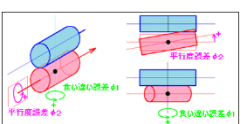
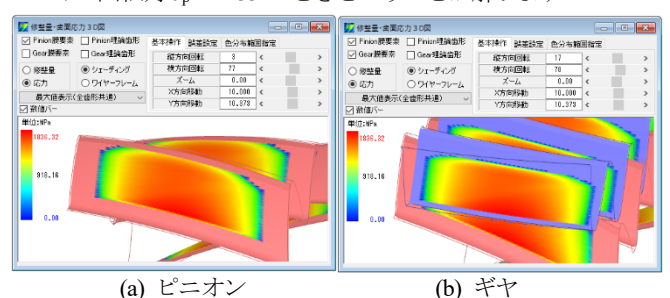


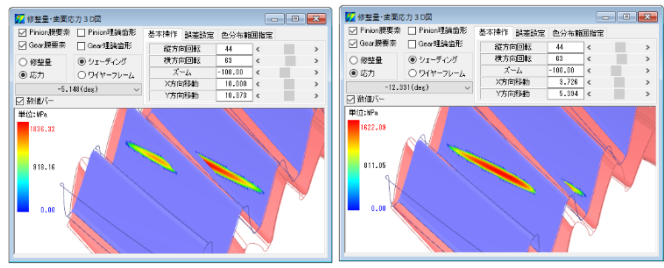
図 22.18 歯面解析設定

22.12 歯面応力解析結果

歯面応力解析結果を図 22.19 に示しますが、図 22.15 で歯面修整を施していることから歯幅側面領域で応力が小さくなっていることが解ります。また、本例の場合、歯面応力の最大、最小値は、図 22.20 のように歯面最大応力 (σ_{Hmax} =1836MPa) は、ピニオン回転角 θ_{P} =-5.148°のときであり、最小歯面応力 (σ_{Hmin} =1622MPa) は、ピニオン回転角 θ_{N} =-12.33°のときということが解ります。



a) ビーオン (b) イド 図 22.19 歯面応力 (σ_{Hmax}=1836MPa)



(a) σ_{Hmax} =1836MPa(θ_{p} =-5.148°) (b) σ_{Hmin} =1622MPa(θ_{p} =-12.33°) 図 22.20 歯面応力の最大と最小

歯面全体の応力分布(セル表示)を図22.21に示します。例題の場合,歯幅方向に98個(歯幅面取り部含む),歯たけ方向に70個(歯先面取り含む)の領域の応力を表示しますので歯面位置における応力値が解ります。また、ここに表示している応力値はCSVファイルで出力することができます。

各々の回転角時の応力は、図 22.22 のようにピニオン回転角に応じた応力分布を表示することができますので応力変化と接触位置を把握することができます.

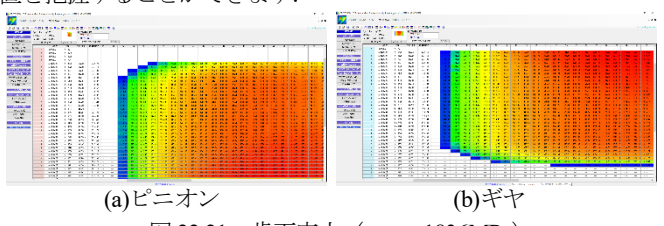
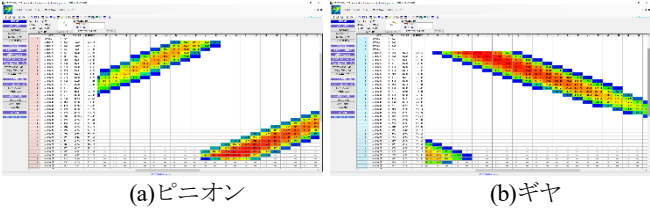


図 22.21 歯面応力 (σ_{Hmax}=1836MPa)



22.13 フラッシュ温度,摩擦係数,油膜厚さ 他

フラッシュ温度を計算するときの設定画面を図 22.23 に示します。ここでは、回転速度、歯面粗さの他に材料(熱伝導率)を選択します(図 22.24)。潤滑油の種類は鉱物油、合成油を選択することができますが、規格外の場合は、任意に動粘度や油の平均温度などを設定することができます。フラッシュ温度、摩擦係数、油膜厚さなどの計算結果を図 22.25~22.32 に示します。また、スカッフィング発生確率、摩耗の発生確率を図 22.33 に示します。

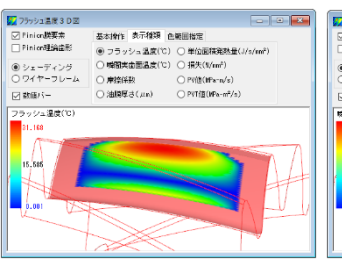




鉱物油(その他)

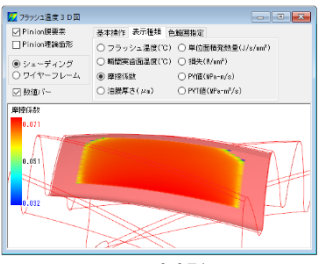
図22.23 フラッシュ温度設定画面 図2

図 22.24 材料と潤滑油



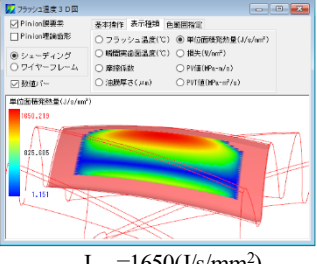
*T*fl=31.2(℃) 図 22.25 フラッシュ温度

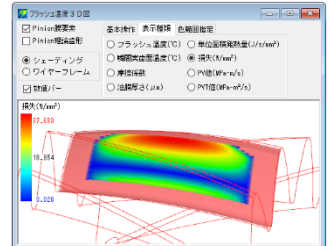
*T*_{flB}=101.2(℃)
図 22.26 瞬間実歯面温度



μ_{max}=0.071 図 22.27 摩擦係数

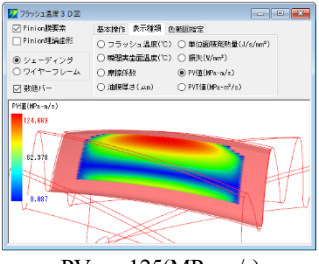
λ_{min}=0.299(μm) 図 22.28 油膜厚さ

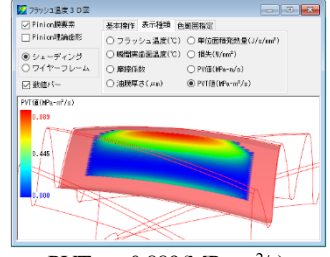




J_{max}=1650(J/s/mm²) 図 22.29 発熱量

W_{max}=37.7(W) 図 22.30 損失動力





PV_{max}=125(MPa-m/s) 図 22.31 PV 値

PVT_{max}=0.889(MPa-m²/s) 図 22.32 PVT 値

損傷確率・損失	☑ 損傷確率・損失					
項目	記号	単位	Pinion	Gear		
スカッフィング発生確率	ης	%	<	5		
摩耗の発生確率	ηf	%	5.	00		
動力損失	ηе	%	0.	79		

図 22.33 損傷確率

22.14 端部解析 (オプション)

22.11~22.13 項ではインボリュート歯面について解析しましたが、ここでは歯先や側面部の端部解析(図 22.34)をした結果を示します.解析の結果、図 22.35 のようにピニオン歯元とギヤ歯先にのHmax=4474MPaの大きな応力が発生します.フラッシュ温度はインボリュート歯面の解析では図 22.25 のように歯先部で 31.2℃だったものが端部解析では図 22.36 のようにピニオン歯先部で147℃に上昇していることが解ります.

● 端部解析有効(○ 端部解析無効	
項目	記号	単位	Pinion	Gear
最小曲率	ρ	mm	1.0000	1.0000
曲率修整範囲	h	mm	1.0000	1.0000
解析歯数		āt	宣 箇所	
○1歯 ○3歯	• 5	歯●	歯元+歯面+歯先	○ 歯面のみ
項目	記号	単位	Pinion	Gear
歯幅中央位置	bm	mm	0.0000	0.0000
トルク	T	N·m ∨	1600.0000	3452.6316
正面法線方向力	F	N	44419.2	
ヤング率	E	MPa.	205800.0	205800.0
ポアソン比	ν		0.3000	0.3000
歯元部分割数	Nh1		20	20
心ボリュト部分割数	Nh2		40	40
歯先、端部分割数	Nh3		10	10
歯幅方向分割数	Nb		40	40
-ビッチ誤差(μm) :	正→接続	性弱弱	解	析歯面
Pinion 0.0	0.0	0.0	0.0 0.0	◉ 左歯面
Gear 0.0	0.0	0.0	0.0 0.0	○ 右歯面
確定	戻	す	単 閉じる かり	P

図 22.34 歯面設定(端部解析)

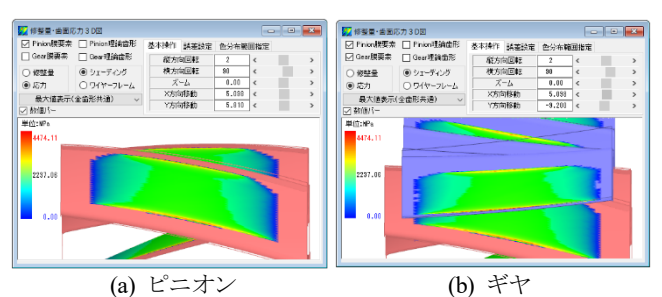


図 22.35 歯面応力(端部解析, _{OHmax}=4474MPa)

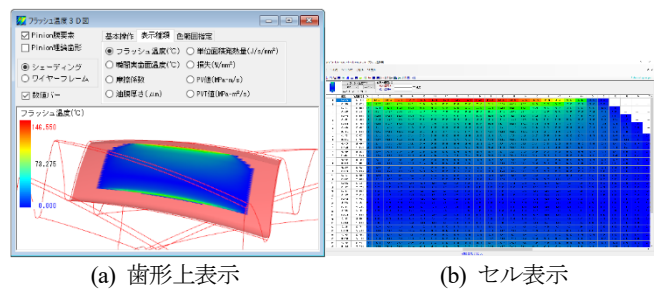


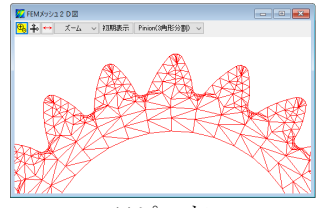
図 22.36 フラッシュ温度, T₁=147(℃)

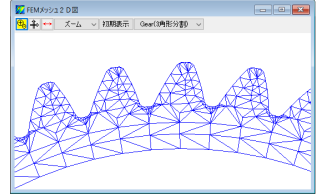
22.15 FEM 解析

FEM 解析するため図 22.37 でメッシュモデルを作成します. ここでは標準モデルでメッシュを作成しますが, 設定の方法は歯形を精度で決める方法と歯形を分割数で決める方法の 2 通りがあります. メッシュ分割した歯形は, 図 22.38 のように 2D メッシュモデルや図 22.39 の 3D メッシュモデルで確認することができます.また,3D-FEM メッシュ要素は座標と節点を図 22.40 のように表示することができます.また,メッシュモデルは図 22.41 のようにリム・ハブモデルとして生成することができます.



図 22.37 メッシュモデル設定





(a)ピニオン (b)ギヤ 図 22.38 2D メッシュモデル

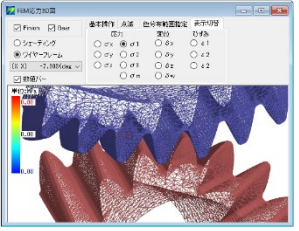




図22.39 3D メッシュモデル

図 22.40 FEM メッシュ要素



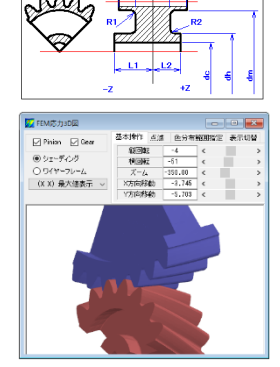


図 22.41 リム・ハブモデル

次に、図 22.37 で設定したメッシュモデルで FEM 解析をする例を以下に説明します。図 22.18 の歯面解析設定で設定した角度(-18.078°~24.304°)を 60 分割していますので歯面応力が最も大きい 6-5.148°(図 22.22)の角度を選択し FEM 解析します。かみ合い角度内での曲げ応力の変化を知りたい場合は図 22.42 の□を全てチェックすれば良いのですが、解析数が多いため時間とメモリを圧迫しますので必要なかみ合い角度(例えば、最悪荷重点)付近の計算をすることが有効です。解析する項目は、図 22.43 に示す応力、変位そしてひずみです。FEM 解析結果を図 22.44~22.47 に示します。



基本操作	点滅	色分布範囲指定	表示切替
応	カ	変位	ひずみ
Ο σχ	● σ1	Οδ×	Ο ε 1
Оσу	Ο σ2	Οδy	Ο ε 2
Oσz	Ο σ3	Oδz	Ο ε 2
	Oσm	O ô₩	

図 22.42 FEM 解析角度の設定

図 22.43 解析の種類

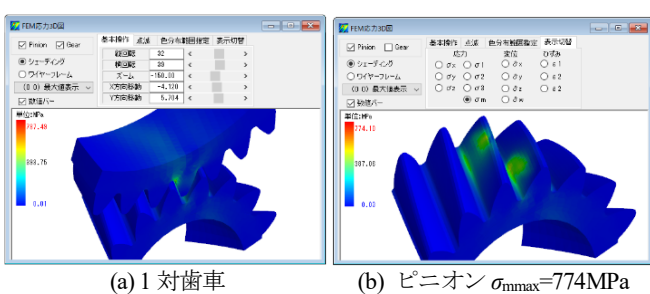
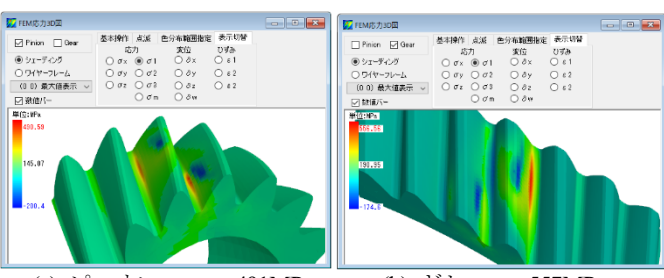


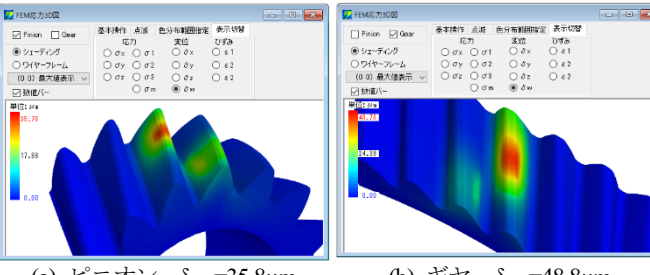
図 22.44 ミーゼス応力



(a) ピニオン σ_{1max}=491MPa

(b) ギヤ σ_{1 max}=557MPa

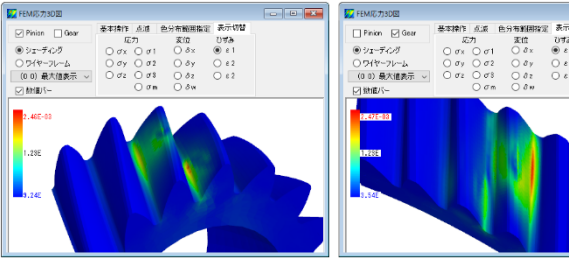
図 22.45 最大主応力



(a) ピニオン δ_{max} =35.8 μ m

(b) \dagger † δ _{max}=48.8μm

図 22.46 変位



(a) ピニオン $\varepsilon_{1\text{max}}$ = 2.46×10^3 (b) 図 22.47 ひずみ

(b) $\forall \forall \epsilon_{\text{1max}} = 2.47 \times 10^{-3}$

図 22.48 の解析結果一覧表でピニオンの最大主応力の最大値 σ_{Imax} =491MPa の要素番号は36125 ということが解りますので、この番号を図22.49 の「点滅」に入力すると応力分布図(○印中で▲が点滅します)で確認することができます.

FEM 解析結果後、図 22.50 のように歯幅方向の任意の位置での 応力を表示することができます.図 22.50 は歯幅断面位置 zd=-3mm の応力を示しています。

	最大佳表示	~	確定										
要素応力P	(MPa) 要果G	5力G(MPa)	節点変位P(μ	m (第点更()	2G(μm) 主(チみり主ひ	436						
	要案番号	σ×	σν	σz	Txy	Tyz	τzx	σ1	σ2	σ3	σu	^	1
1 □	16125	251.75	277.45	65.88	225.51	3.51	6.57	490.59	65.97	38.52	438.59		
2	36224	277.84	227.46	57.72	225.63	-5.27	-9.86	480.02	57.66	25.44	439.16	1	
8	36124	237.52	262.00	41.84	228.67	31.08	16.29	473.36	43.58	18.41	448.50	1	
4	36118	217.13	246.13	52.86	288.06	16.84	21.08	442.02	51.57	22.53	405.75	1	
5	15927	338.68	124,43	67.05	171.81	-23.81	-28.49	437.78	64.47	27.88	192.88	1	
6	36223	280.18	200.03	51.92	283.47	13.15	-1.60	485.95	55.65	20.59	138.53	1	
7	36218	247.57	210.84	69.44	199.85	-7.87	-5.48	430.14	69.31	28.40	182.92	1	
8	15126	336,51	120.93	64.25	165.16	-16,34	-22.70	428.05	62.54	31.03	182.21	1	
9	16461	169.56	84.84	-43.66	260.22	125.90	65.96	427.74	-50.28	-167.52	546.16	1	
10	36225	251.85	196.87	46.81	197.20	-11.13	-16.37	424.50	48.15	24.93	189.16	1	
- 11	35828	329.61	118.70	72.30	181.47	-30.13	-39.83	423.95	68.93	29.73	376.59	1	
12	16217	243.19	200.69	60.02	197.14	7.86	10.61	420.70	60.38	23.62	180.03	1	
13	35825	830.13	113.29	60.16	163.80	-16.33	-18.38	419.74	59.72	24.33	378.56	1	
14	35924	328.90	118.80	65.01	164.38	-18.47	-11.59	419.71	65.28	27.70	374.63	1	
15	15921	323,29	125.92	70.47	166,59	-16,15	-12.44	419.24	71.00	29.44	370.78	1	
16	36113	199,90	241,37	76.60	186,24	3,35	14,86	418,42	77,58	21.87	371,84	1	
17	36222	251.85	182.44	46.25	195,82	10.12	2.18	418.20	47.45	16.88	184,94	1	
10	35828	920 68	122 45	66.79	185 34	-14 50	-10.00	415.04	67.59	27 27	169.76	v	

図 22.48 解析結果一覧

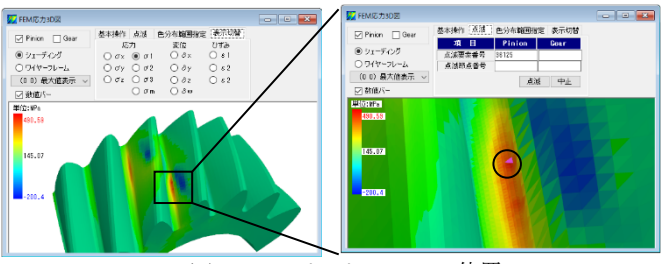


図 22.49 ピニオン σ_{1max} の位置

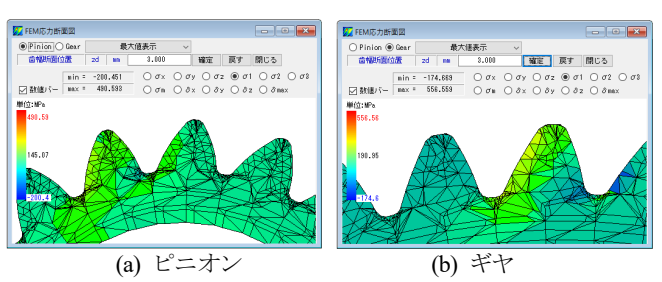


図 22.50 FEM 断面図

22.16 寿命時間

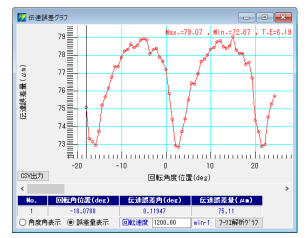
歯面応力解析および FEM 解析後に寿命時間を計算します. ここでは材料の歯面強さに対する許容応力値を σ_{Hlim} =2000MPa, 曲 げ強さに対する許容応力値を σ_{Flim} =400MPa としたときの寿命時間を図 22.51 に示します.



図 22.51 寿命時間

22.17 回転伝達誤差 (オプション)

図 22.18 の歯面解析設定画面で与えた回転角度内での回転伝達 誤差を図 22.52 に、フーリエ解析結果を図 22.53 に示します.





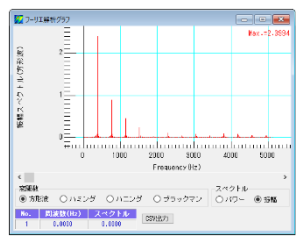


図 22.53 フーリエ解析

22.18 最適歯面修整量解析 (オプション)

図 22.13 のように歯面修整を一様に決めるのではなくトルク, ピッチ誤差そして軸角誤差を考慮したとき歯面応力が最小となる

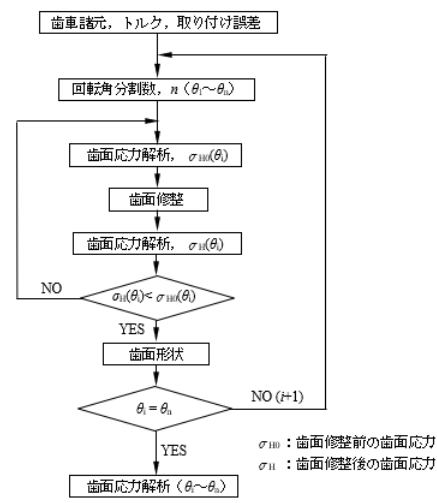


図 22.54 歯面応力が最小となる歯面修整フローチャート

修整量を決めることができる機能です.ここでは、トルクなどを図 22.12 の条件としたとき、図 2.54 のフローチャートに基づいて歯面応力が最小となる歯面形状を生成します.

本例は、最適修整量解析条件設定 で、図22.55の食い違い誤差、および並行度誤差を0とし、回転分割数と繰り返し計算回数を共に5として更に、修整量振り分け比をピニオン1.0、ギヤを0としています(標準の修整量振り分け比は0.5,0.5).

最適歯面修整解析の結果,図 22.56 の歯面形状を得ることができ,この歯面で応力解析をすると図 22.57 のように歯面応力は, σ_{Hmax} =1435MPa となり,図 22.19 の歯面応力(σ_{Hmax} =1836MPa)より 400MPa 低下することが解ります.また,フラッシュ温度は図 22.23 と同じ条件で解析すると図 22.58 のように T_{fl} =27.4 $^{\circ}$ Cとなり図 22.25 より 3.8 $^{\circ}$ C低下します.



(a) 畝足胆 (b)

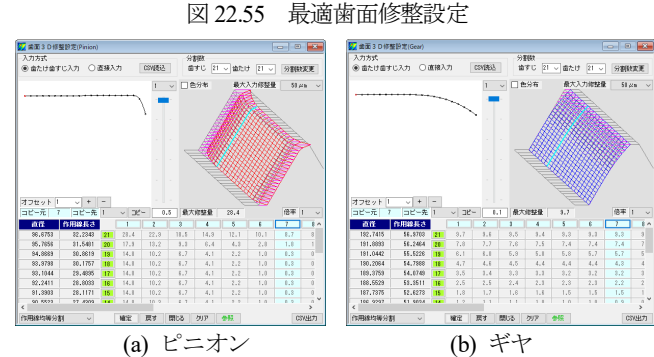


図 22.56 最適歯面修整

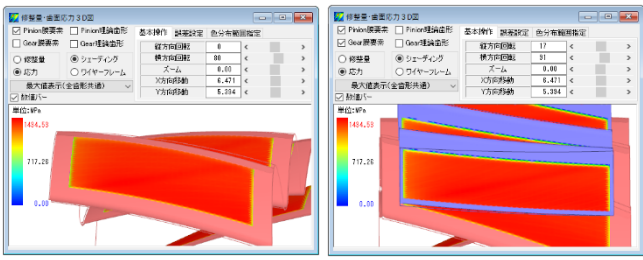


図 22.57 歯面応力, σ_{Hmax}=1435MPa

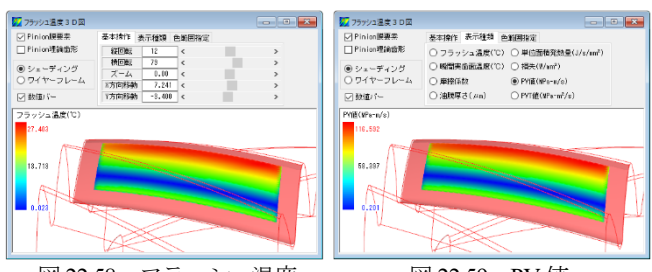


図 22.58 フラッシュ温度

図 22.59 PV 値

22.19 内歯車の解析 (オプション)

図 22.2 で「外歯車×内歯車」を選択し、図 22.60 で歯車諸元を設定し、外歯車対と同様に解析します. 解析結果を図 22.60~22.73 に示します. ピニオンの歯面修整は「外歯車×外歯車」の図 22.15 と同じにしています.





(a) 歯車諸元

(b) 面取り

図 22.60 諸元設定

歯車寸法 かみ合い寸法	その他				
項目	記号	単位	Pinion	Gear	
正面モジュール	mt	mm	4.5	303	
正面圧力角	αt	des	33.1803(L) / 19.0990(R)		
基礎円筒ねじれ角	βЬ	des	23.9898(L) /	' 26.6768(R)	
基礎円直径	db	mm	72.0410(L) / 81.3373(R)	208.5397(L) / 235.4500(R)	
全歯たけ	h	mm	9.0000	9.0000	
歯切転位係数	xnc		0.4500	0.3000	
最小インボリュート直径	dt	mm	80.9964(L) / 82.2786(R)	244.5654(L) / 244.5654(R)	
最大インボリュート直径	dh	mm	96.6753(L) / 96.6753(R)	260.8589(L) / 260.5543(R)	
歯直角円弧歯厚	sn	mm	7.8727	5.2235	
正面円弧歯厚	st	mm	8.9164	5.9160	
オーバーボール径	dp	mm	7.0000	7.0000	
基準オーバーボール寸法	dn	mm	98.7896	241.2482	
設計オーバーボール寸法	dm'	mm	98.7896	241.2462	

図 22.61 寸法結果 1

寸法計算結果						
動車寸法 かみ合い寸法	その他					
項目	記号	単位	Pinion	Gear		
正面かみ合い圧力角	αwt	deg	32.0248(L) / 16.8193(R)			
かみ合いねじれ角	βw	des	27.6948			
かみ合いビッチ円直径	dv	mm	84.9722	245.9722		
歯数比	zh		2.8947	0.3455		
有効歯幅	bw	mm	30.0000			
クリアランス	ck	mm	1.4451	1.4451		
正面かみ合い率	εα		0.9269(L) / 1.2154(R)			
重なりかみ合い率	εβ		1.1208(L) / 1.1208(R)			
全かみ合い率	εγ		2.0477(L) / 2.3362(R)			
すべり率	σ1		-0.0413(L) / -0.1682(R)	0.0396(L) / 0.1439(R)		
すべり率	σ2		0.1971(L) / 0.3466(R)	-0.2454(L) / -0.5304(R)		
正面法線バックラッシ	Jŧ	mm	0.3467(L) /	/ 0.3915(R)		
バックラッシ角度	Jθ	des	0.5515	0.1905		
最大接触直径	dja	mm	96.6753(L) / 96.6753(R)	256.7923(L) / 255.3544(R)		
最小接触直径	djf	mm	83.5856(L) / 83.6565(R)	244.5654(L) / 244.5654(R)		
インボリュート干渉			発生しません。Left/	発生しません。right		
トリミング			発生しません。Left/	発生しません。right		
トロコイド干渉			発生しません。Left/	発生しません。right		
フィレット(歯元部)干渉			発生しません。 Left/	発生しません。 right		

図 22.62 寸法結果 2

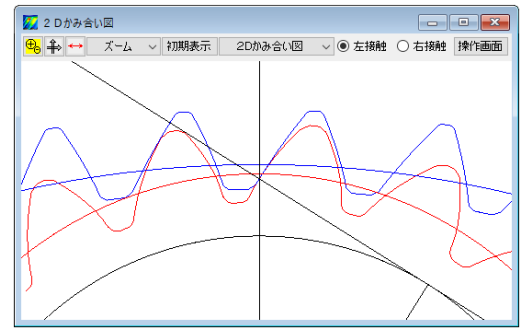


図 22.63 正面かみ合い図



図 22.64 歯面要素設定

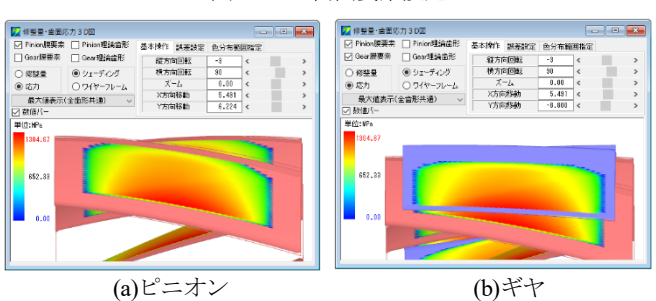


図 22.65 歯面応力, σ_{Hmax}=1305MPa

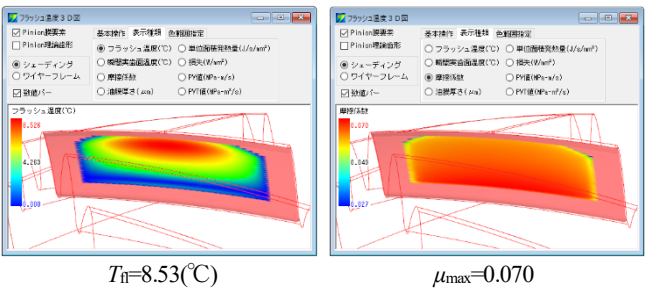


図 22.66 フラッシュ温度

μ_{max}=0.070図 22.67 摩擦係数

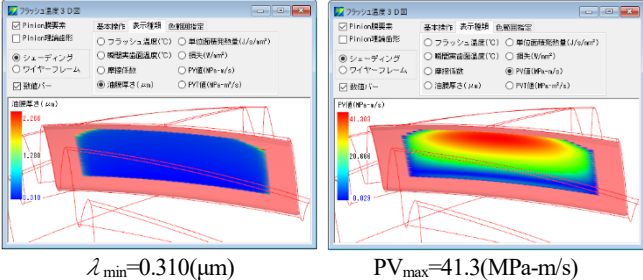
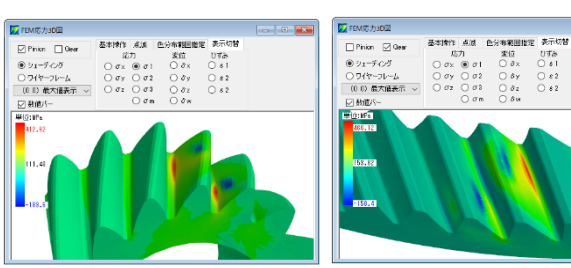


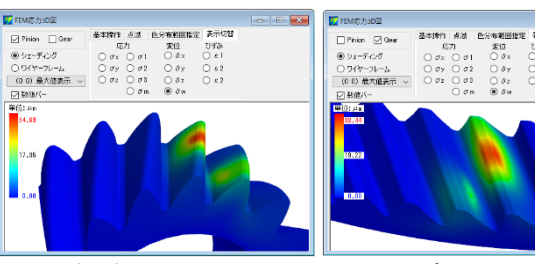
図 22.68 油膜厚さ

PV_{max}=41.3(MPa-m/s) 図 22.69 PV 値



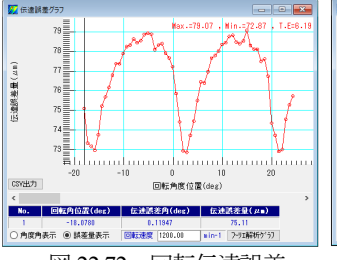
(a) ピニオン σ_{lmax} =413MPa (b) 図 22.70 最大主応力

(b) ギヤ σ_{1max}=466MPa



(a) ピニオン δ_{max} =34.6 μ m

4.6μm (b) ギヤ δ_{max}=88.4μm 図 22.71 変位



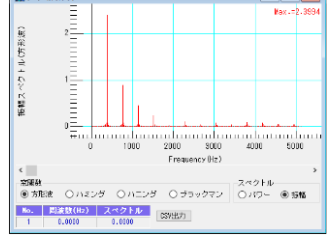


図 22.72 回転伝達誤差

図 22.73 フーリエ解析

22.20 潤滑油特性 (オプション)

図 22.23 のフラッシュ温度設定画面において **図 物性入力** とすることで図22.74の潤滑油特性を設定することができ図22.25のフラッシュ温度などの計算をすることができます.



図 22.74 潤滑油特性設定の例

※ 非対称歯形歯車の検討例は、付録[H]の「非対称歯車の特性」 をご覧下さい.